

ALANYA - MERSİN ARASI DENİZEL BÖLGEDEKİ GENÇ TEKTONİK YAPILAR

Neotectonic Structural Features in the Alanya - Mersin Shelf Area (Southern Turkey)

Sungu L. GÖKÇEN*, Gilbert KELLING**, Atilla ULUĞ*, Nuran GÖKÇEN*
ve Erdeniz ÖZEL*

ÖZET

Bu çalışma Alanya - Mersin kıyı ötesi sismik çalışmaların bulgularını kapsamaktadır. Jeofizik çalışmalar temel alınarak; doğuda Ecemış Fay Kompleksi ve batıda Anamur Kormakiti yapısal yükseltisi tarafından doğu, orta ve batı kesim birimleri olarak bölge üç yapısal alt havzaya bölünebilir.

Araştırmaların sonuçlarının gösterdiğine göre "Ecemış Kompleksi" bölgenin aktif bir fayını temsil etmektedir.

ABSTRACT

This study summarizes findings of seismic surveys carried out in the Alanya-Mersin off - shore region. On the basis of results obtained from geophysical surveys the region can be subdivided into three structural subbasins namely eastern, central and western units separated by Ecemış Fault Complex in the east and Anamur Kormakiti structural high in the west.

Results of this survey also showed that "Ecemış Complex" is an active fault of the region.

GİRİŞ

Bilindiği gibi, Güney Türkiye'nin kara ve deniz kesimi, Doğu Akdeniz ve Levant'in jeolojik evrimi açısından büyük önem taşır. Yazarların Çukurova Tersiyer havzasında yapmış oldukları uzun süreli bölgesel sedimanter - jeolojik araştırmaların sonuçları havzannın deniz kesiminde de jeolojik araştırmaların devam ettirilmesi gereğini ortaya koymuştur (Gökçen ve dig. 1985, 1987, 1988, Kelling ve dig. 1987, 1990). 1988 yılında başlamış olan bu deniz jeolojisi/jeofiziği araştırması, genelde Alanya - Mersin arasındaki deniz bölgesinde sismik araştırmalar ile dip örneklerinde mikropaleontolojik ve sedimentolojik incelemeler şeklinde yürütülmektedir. Araştırma bölgesi coğrafik olarak kuzeyde Güney Türkiye, doğu - güneydoğu Girne - Misis Karmaşığı güneyde Kuzey Kıbrıs ve batıda Anamur - Kormakiti yapısal yükseltimi arasında kalmakta ve Adana - Silisya ile İskenderun Tersiyer - Güncel alt basenlerinden oluşmaktadır (Şekil 1). Yaklaşık 15.000 km²'lik bölgeyi kapsayan inceleme alanı, 35.5° - 36.5° N enlemi ile 31.5° - 35.5° E boylamları arasında uzanmakta ve batimetrik açıdan 100 - 2000 m arasında değişim göstermektedir.

BÖLGESEL JEOLOJİ

Alanya - İskenderun neritik bölgesini de kapsayan Adana - Çukurova baseni, birçok global jeodinamik modelde Afroarap ve Övrasya plakalarının genç Senozoyik'deki çarşılması sırasında oluşmuş tektono-sedimanter bir depolama alanıdır (Şengör ve Yılmaz 1981, Robertson ve Dixon 1985, Gökçen ve dig. 1988). Bu yöredeki plaka hareketlerinin oluşturduğu ikinci büyük basen ise, Antalya Havzasıdır.

Çukurova Tersiyer Havzası doğuda, Misis Karmaşının oluşturduğu kuzyeydoğu güneybatı uzanımlı paleosırt ile "Adana Neojen Havzası" ve "İskenderun Neojen Havzası" olarak iki küçük havzaya bölünür. Batıda ise Ecemış Fay ile "Mut - Silifke Neojen Havzası" ayrılmıştır (Şekil 1). Bunların bölgesindeki güncel uzantıları ise, Alanya - İskenderun şelfi üzerinde yer alan, Adana - Silisya ve İskenderun - Laskiye basenleridir (Gökçen ve dig. 1990).

Inceleme alanının kara kesimindeki istif iki ana litostatigrafik birimden oluşmaktadır. Bunlar Oligosen yaşılı olistostromik birimden oluşmaktadır. Bunlar Oligosen yaşılı olistost-

* D.E. Ü Deniz Bilimleri ve Teknolojisi Enstitüsü, Konak-İZMİR
** University of Keele, Department of Geology, Keele-Saffs., ENGLAND

romik İslalı Fm. ve Burdugaliyen - Tortoniyen yaşı türbiditik Karataş Formasyonudur. Denizel Karataş Formasyonu üzerine, bölge güneyindeki bazı alanlarda, konglemera - kumtaşı - marn ardalanmasından oluşmuş, deltajik - siğ denizel fasiyeler içeren - Tortoniyen - Messiniyen yaşlı Kızıldere formasyonu gelir. Çukurova Havzası'ndaki bu jeolojik ana özelliklere ek olarak, basendeki Genç Miyosen istifinin, yörenin K-KB kesiminde derin denizel fasiyeste ve ince olduğu, güneyinde ise (örn. İskenderun Körfezi) siğ denizel ortamda olmuş kalın bir sedimantasyon ürününü olduğu saptanmıştır (Kelling ve diğ. 1967, Gökçen ve diğ. 1988 ve 1990).

İnceleme alanının kara kesiminde yapılmış sedimanter jeolojik araştırmaların başlıcaları Schmidt (1961), Schiettecatte (1971), Yalçın ve Görür (1984), Kelling ve diğ. (1987), Yetiş (1988), Gökçen ve diğ. (1985, 1987, 1988, 1990), ve Kapur ve diğ. (1989, 1990)'dır.

Deniz kesimi çalışmaları çok daha kısıtlı olan basende, son yıllarda araştırmalardan örnekler Evans ve diğ. (1978), Shaw ve Bush (1978), Catani ve diğ. (1983), Camerlenghi ve Cita (1987), Özhan (1988), Anastasakis ve Kelling (1989) ve Kelling ve diğ. (1990)'dan oluşmaktadır.

MATERIAL VE METOD

Bu çalışmada kullanılan sismik kesitler ve zemin örnekleri Dokuz Eylül Üniversitesi Deniz Bilimleri ve Teknolojisi Enstitüsü R/V K. Piri Reis gemisiyle NE-AK 88 ve NE-AK 89 seferleri sırasında alınmıştır. Bu seferlerde izlenen porfillerin konumları Şekil 2'deki haritada görülmektedir. Kesikli çizgi ile gösterilen hatlar NE-AK 90 seferinde ölçülmüş olanlardır.

Jeofizik çalışmalarında yaklaşık 1500 km uzunluğundaki profiller boyunca ölçülen sismik kesitler, enerji kaynağı olarak Bolt PAR 600 B tipi hava tabancası kullanılarak alınmıştır. 0.67 lt hacimli hava tabancasında 137 atm hava basıncı kullanılmış ve patlamalar 4 m su derinliğinde yapılmıştır. Patlama sıklığı su derinliği ile ilişkili olarak genellikle 4 s seçilmiştir.

Ahçı ünite olarak tek kanal Benthos 460 hidrofon diziliği (streamer) kullanılmış ve sinyaller Korhn-Hite 3700 tipi Butterworth band geçişli süzgeçten çeşitli frekans bandlarından geçirildikten sonra, EPC 3200 kayıt ünitesinde grafik olarak kaydedilmişlerdir. Bu sinyaller ayrıca analog veri-işlem çalışmalarında kullanılmak üzere aynı zamanda manyetik bandlar üzerinde de depolanmışlardır.

Aralarında yaklaşık 10 m uzaklık bulunan hava tabancası - hidrofon diziliği ile sıfır açılımlı sürekli yansıtma kayıtları (zero-offset continuous reflection records) alınmakta ve üzerinde gidilen profiline altındaki jeolojik yapı belirlenebilmekte- dir.

Deniz çalışmaları sırasında sismik ölçümlein yanı sıra Bentos 2171 tipi karotiyer kullanılarak deniz tabanı örneklemeleri de yapılmıştır. Sedimentolojik ve mikropaleontolojik araştırmalar için kullanılan karotlar $2^{3/2}$ inch çapındaki plastik borular içerisinde deniz tabanından itibaren düşey yönde 1-3 m boyunda sedimentlerin alınmasıyla oluşmuştur. İkisinin su derinliği 97 m, diğer üçünün 1050 m olduğu 5 ayrı noktadan alınmış (Şekil 2) karotlar laboratuvara boyuna olarak ikiye bölünmüştür ve bir bölümünde 15 cm'de bir 200 gram ağırlığında örnekler alınarak "yıkama" yapılmış ve örnekler mikroskop incelemesine hazırlanmıştır. Mikroskopta bu örneklerin foraminifer ile ostrakod içerikleri saptanmış ve bu fauna ortamsal ve zamansal açıdan yorumlanmıştır.

Deniz çalışmaları sırasında gemi konumu kıyı bazlı olarak DECCA RM 916-c radar vasıtıyla belirlenirken, aynı zamanda NAVCOM 2200 uydu navigasyon cihazı ve model 2750 işlemcisile de sürekli olarak kontrol edilmiştir.

VERİLERİN DEĞERLENDİRİLMESİ

Şekil 2'deki hatlar boyunca alınan sürekli sismik yansıtma kayıtları litolojik bakımından değerlendirilmiştir. Hatlardan bazıları örnek olarak Şekil 3, 4 ve 5'de görülmektedir. Şekil 3'deki yaklaşık 75 km uzunluğundaki X - X" kesitinde gemi rota dönüm noktası X' ile gösterilmektedir. Bu kesitte düşey eksen saniye cinsinden sismik dalgaların gidiş - dönüş zamanını ve yatay eksen ise uzaklığını göstermektedir. Seyir sırasında belirli aralıklarla alınan "referans noktalarının" koordinatları kesitler üzerinde verilmiştir. Buna göre yaklaşık bir yatay mesafe ölçülebilir ve düşey zaman ölçüde de takribi derinlik ölçüne dönüştürüldüğünde düşey abartmanın yaklaşık 11.5 misli olduğu anlaşılmaktadır.

Söz konusu sismik kesitin litolojik bakımından incelenmesinde, iki ana katmanın varlığı ortaya konmuştur. Buna göre üstteki Holosen ve Pliyo - Kuvaterner birimleri Q ve P-Q sembollerile gösterilmiş; Pliyo - Kuvaterner'in altında yer alan üst Miyosen (Messiniyen) birimi ise M harfi ile simgelenmiştir.

X - X" kesitinin morfolojik bakımından değerlendirilmesinde, X - X' arasında önce bir kita şelfi ve daha sonra kita yokuşu izlenmektedir. 14 ve 15 no'lü referans noktaları arasında, kıyıdan itibaren belirgin bir şekilde izlenebilen Messiniyen tavanı aniden yok olmakta ve kayıt cihazlarında yapılan kazanç arttırımına rağmen devamlılığı izlenmemektedir. Bu durum Anamur Burnu ile Kıbrıs Kormakiti (Koruçam) Burnu arasında düşey atılımlı bir fayın mevcutluğu şeklinde değerlendirilmiştir (Şekil 3).

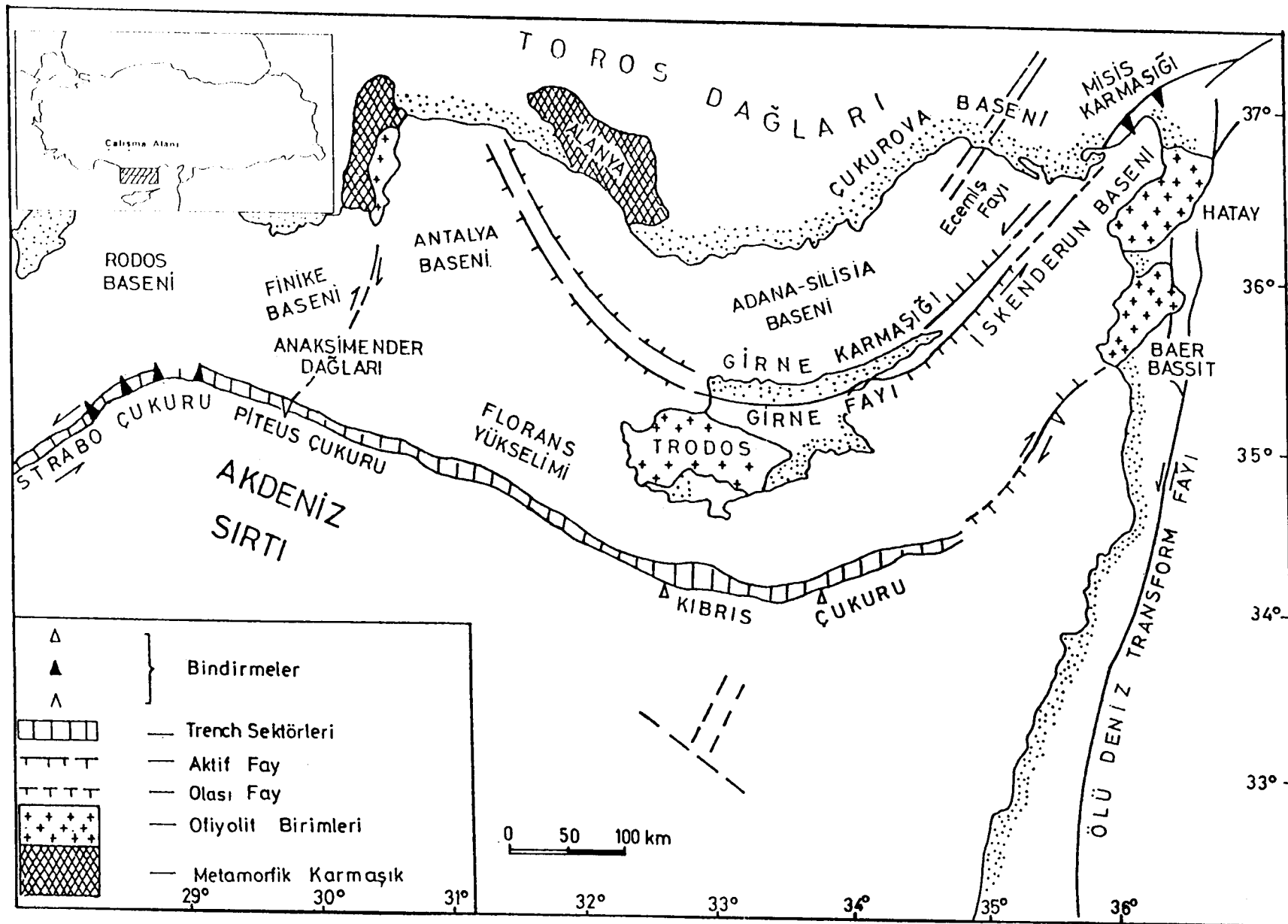
Kesitin X' - X" kesiminde ise, takriben 11 no'lü referans noktası üzerinde deniz tabanı ile Messiniyen arasındaki morfolojik benzerlik, yöredeki genç, fakat derin bir faylanmanın varlığı şeklinde yorumlanmaktadır. Nitekim Şekil 4'de gösterilen kesitte, Ecemış Fay Kompleksi Holosen sedimanlarını da etkilemiş olmasından bu fayın güncel etkinliğini sürdürdüğü anlaşılmaktadır. Başka deyişle Ecemış Fay, bir normal fay niteliğinde ve KD-GB doğrultusunda Mersin-Kıbrıs arasında uzanmaktadır ve Qhatta P - Q sedimanlarını yaklaşık olarak 300 m düşümle kesmektedir. Keza, konumu Şekil 2'deki haritada gösterilen Z-Z' kesitinde de Q ve P-Q sedimanları ile Messiniyen sınırı güzel bir şekilde görülmektedir. Messiniyen tavanını da kesen düşey faylar yine kesit üzerinde belirtilmiştir (Şekil 3).

Yapılan sismik çalışmaları ile paleontolojik verilerin değerlendirilmeleri sonucunda ve önceki literatür (örneğin Hsu ve diğ. 1973) bilgilerinden de yararlanılarak çalışma alanı içerisinde Pliyokuvaterner - Messiniyen sınırının izopak haritası çıkarılmıştır (Şekil 6). Bu haritada ayrıca bölgedeki Messiniyen öncesi ve sonrası faylar ile kayma bölgeleri (slumplar) belirtilmiştir.

SONUÇLAR

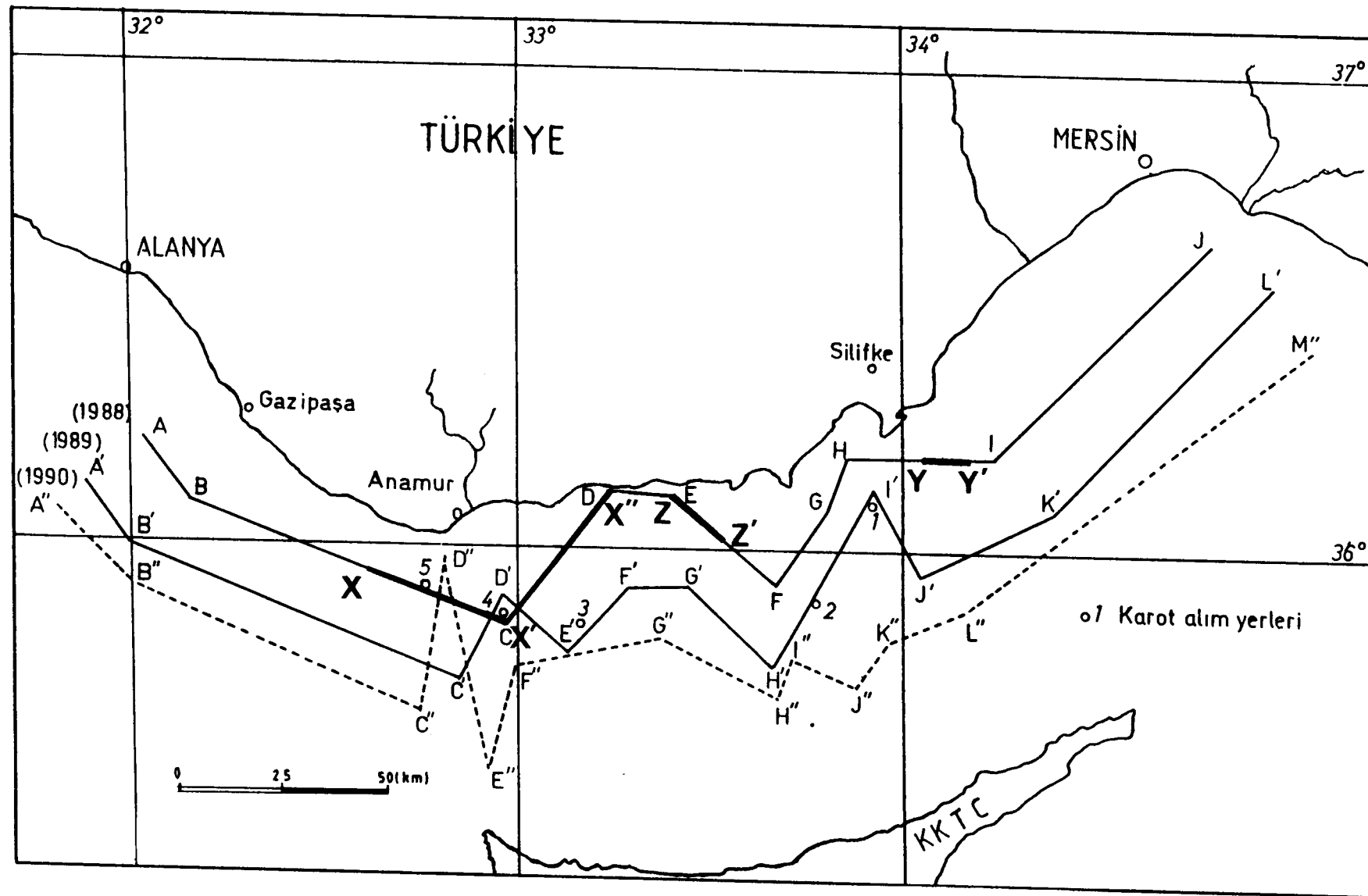
Alanya - Mersin arası deniz bölgесine ait Pliyokuvaterner - Messiniyen izopak haritası Şekil 6'da verilmektedir. Söz konusu haritada Messiniyen ve Messiniyen sonrası faylar farklı semboller ile gösterilmekte ve blok atım yönleri + ve - işaretleri ile belirtilmektedir. Aynı zamanda bu harita üzerinde antiklinal ve büyümeye fayları ve bindirme zonu gibi tektonik yapılar ile kayma şeklinde tektono-sedimanter yapılar da muhtelif semboller ile işaretlenmiştir.

Araştırma sonuçları Alanya - Mersin kıyı ötesinin üç alt yapışal bölgeye ayırdığını göstermiştir. Bunlar Çukurova, Adana - Silisya ve İskenderun bölgeleridir (Şekil 1). Bu ayırmayı yapan faylar Messiniyen ve Messiniyen sonrası olarak iki gruptur ve izopak haritası (Şekil 6) bunu destekler. Bölgenin doğusunda yer alan alt basen, tuz domları büyümeye faylarının

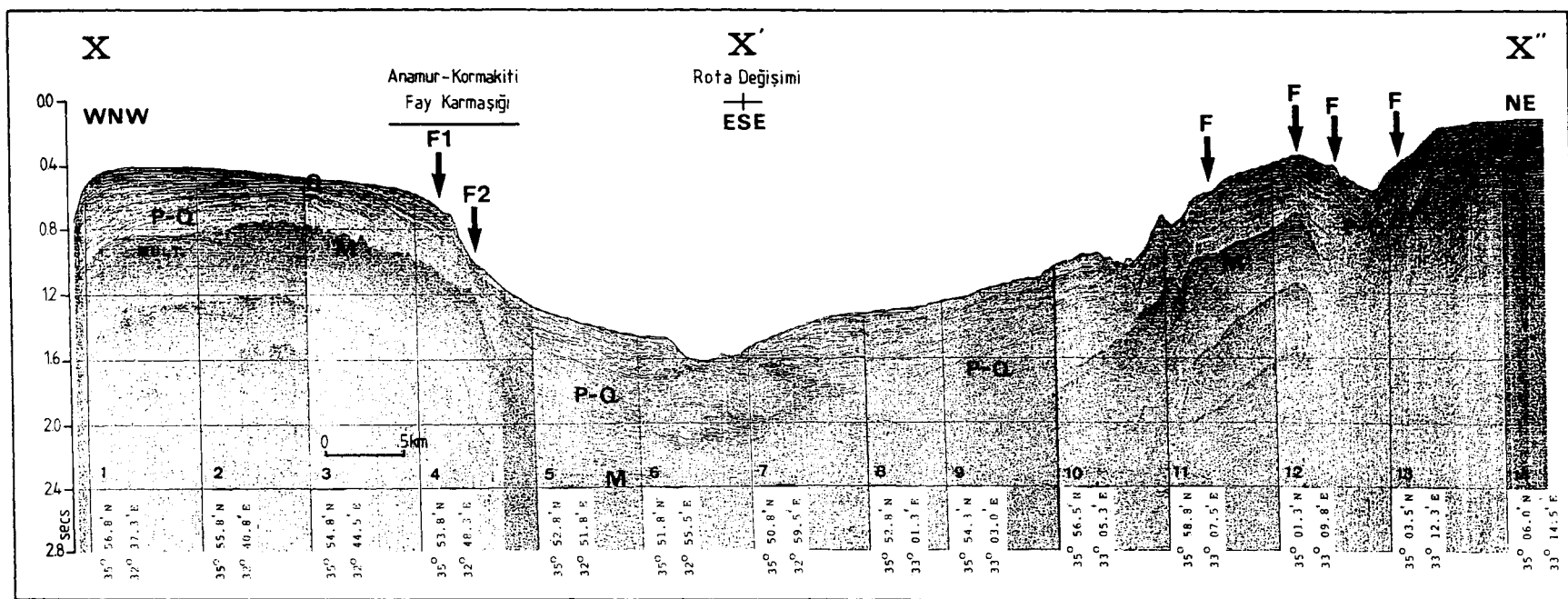


Şekil 1. Çalışma alanı ve burada yer alan ana yapısal unsurlar ile tektono-sedimanter birimler.

Fig. 1. Location map (inset) and basic structural elements and tectonosedimentary units in the area.

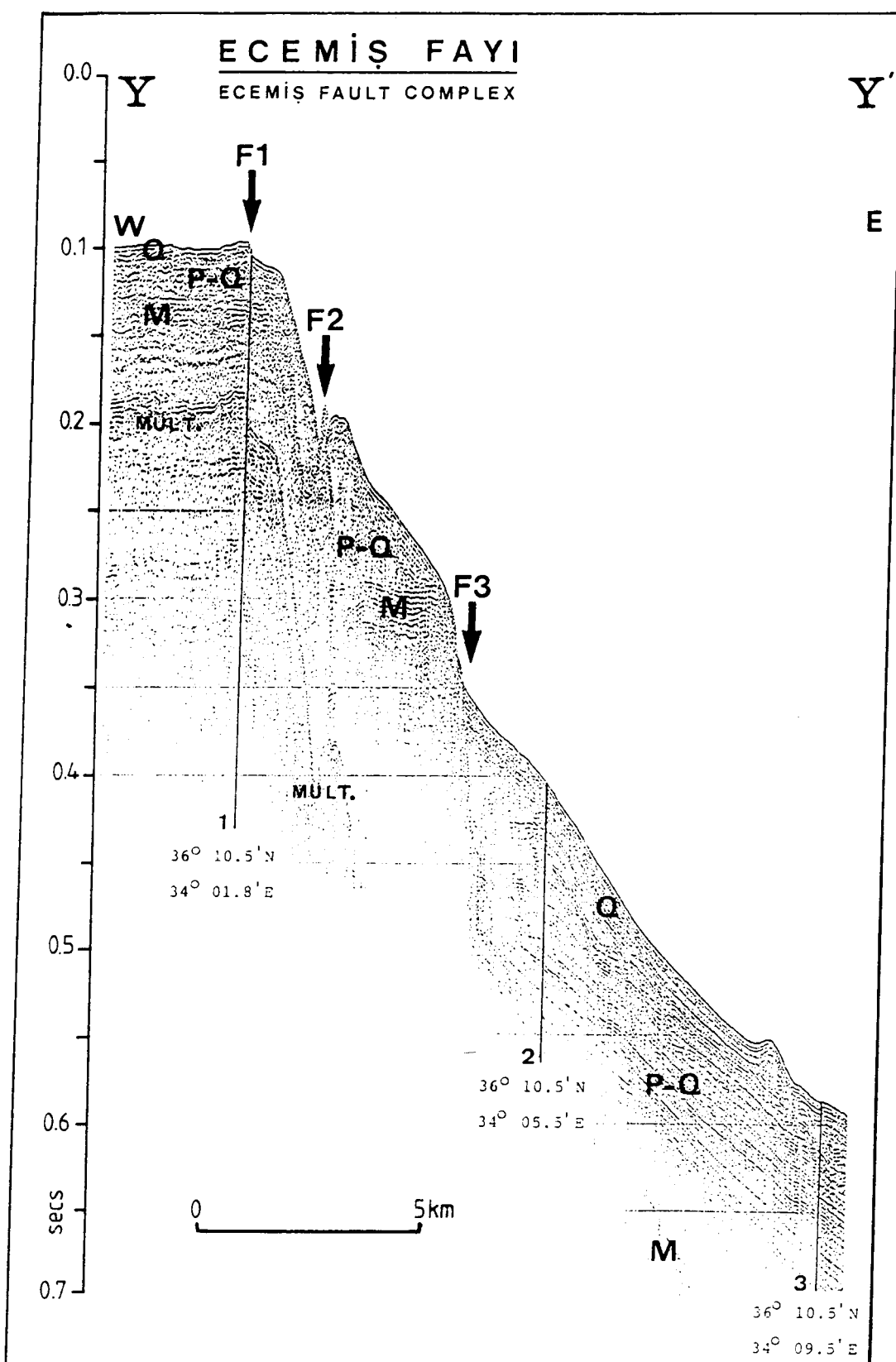


Şekil 2. Çalışmada kullanılan sismik profillerin konumu işaretli yerlerin ayrıntıları Şekil 3 - 5'de verilmiştir.
 Fig. 2. Direction of seismic profiles used in the study. See Figs. 3 - 5 for details.



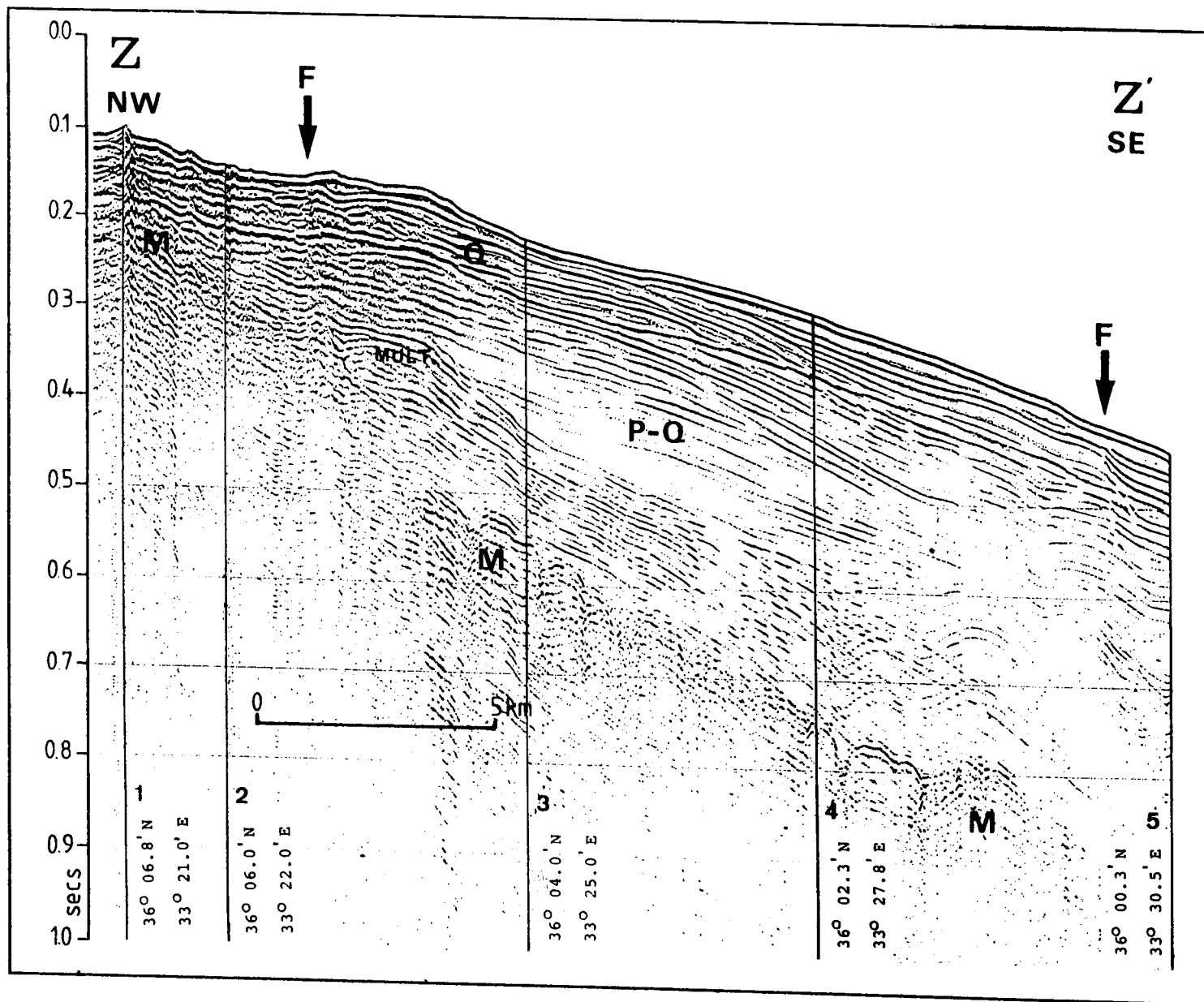
Şekil 3. Anamur - Kormakiti deniz altı yükselimi üzerinden fay kompleksi ve düşey fayları gösteren sismik profil (X - X''). F: Fay, Q: Kuvaterner, P-Q:Plio-kuvaterner, M: Multiple.

Fig. 3. A fault complex and individual down-faults in the Anamur - Kormakiti structural high (submarine). F: fault, M: multiple, Q: Quaternary, P-Q: Plioquaternary.

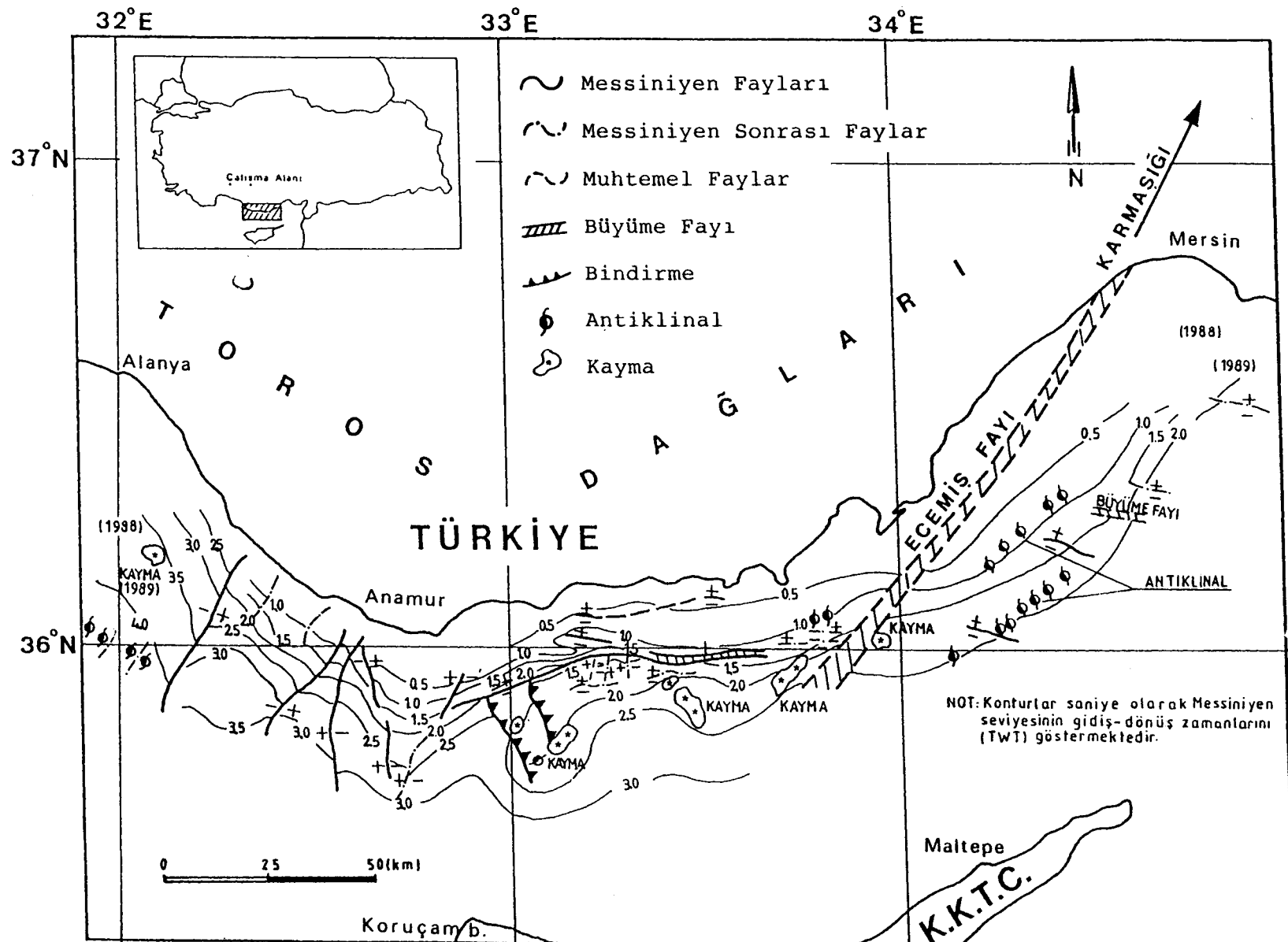


Şekil 4. Ecemis Fay kompleksi deniz uzantısının Mersin'den yaklaşık 70 km güney batısından alınmış sismik yansımaya kesiti (Y-Y'). Simgeler için Şekil 3'e bakınız.

Fig. 4. Details of seismic profile Y-Y' taken 70 km south west of Mersin city (Fig.1). Faults (F1, F2, F3) are interpreted as Ecemis Fault Complex. See Fig.3 for abbreviations.



Şekil 5. Kuzeybatı - Güneydoğu doğrultusunda aydınlatıcı önlereinden açıklara doğru alınmış sismik yansuma kesiti (Z-Z').
 Fig. 5. Details of seismic profile Z-Z'. See Fig.1 for location and Fig.3 for abbreviations.



Sekil 6. 1988 - 89 çalışmaları sonucunda elde edilmiş PliyoKuvaterner - Messiniyen sınırı izopak haritası.
Fig. 6. Isopach map of the plio Quaternay - Messinian boundary in the study area.

yansıra kaymalarla da belirgindir. Çukurova Tersiyer Havzası'nın batı sınırını oluşturan Ecemis Fayı, Şekil 6'dan da görüldüğü gibi, önceden bilinenin aksine (Yetiş 1985) günümüzde de aktiftir. Orta ve batı tektonik üniteler ise, kaymaların yanı sıra, E-W ve NNE-SSW uzanımlı normal faylar ve bindirmelerle karakteristiktridir.

Çalışma sahasında Pliyosen ile Kuvaterner ayrılmış ve fosil zonlaması yapılmıştır. Şekil 2'de konumları verilmiş karotların ostrakod ve foraminifer içerikleri zaman ve ortam koşulları açısından değerlendirilirken, bölgenin sedimentasyon hızı ile güncel su sütunu kalınlıkları gözönüne tutulmuştur. Pliyosen'in Kuvaterner'den paleontolojik olarak ayırmayı ve Kuvaterner zonlaması ancak son yıllarda kısmen açıklık kazanabilmistiştir. Bunun çalışma alanında da gözlenmiş başlıca nedenler ise, Kuvaterner başlangıcında (glasial dönemde) ortam koşullarının elverişsizliğinden kaynaklanmış fauna yetersizliği ile Post-Glasial faunanın günümüze kadar olan tek düzeliği olabilecektir. Bununla beraber araştırmada elde edilmiş ve özellikle birey sayısı açısından zengin olan ostrakod, bentik ve planktik foraminifer topluluklarında *Cytheropteron alatum* (SARS), *Hyalinea balthica* (SCHROETER), *Globigerinoides sacculifer* (BRADY) ve *Globorotalia Truncatulinoidea* (d'ORBIGNY) Pleyistosen formu, Pleyistosen - Aktüel formlar olarak bilinmektedir. Buna göre örneklenmiş istifin, sediman bitirme hızı ve karot kalınlığından elde edilmiş yıl hesabı da gözönüne tutularak Orta - Üst Pleyistosen - Holosen zaman dilimi içinde yer alabileceği anlaşılmıştır. Fauna, batimetreyi belirleyen özellikleri açısından değerlendirildiğinde, tektoniğe bağlı olabilecek yerel oynamaları ile topluluğa sürüklendiş allokton bireylerin varlığını göstermeye, bu sonuç da sismik yorumları desteklemektedir.

KAYNAKLAR

- Anastasakis, G. and Kelling G. 1990, Tectonic connection of the Hellenic and Cyprus arcs their probable landwards extension, Marine Geology (in press).
- Catani, G., Lenardon, G., Marchetti, A., Tunis, G. and Vinci, A. 1983, Sedimentological and seismic features in the Cyprian sector of the Eastern Mediterranean sea: Preliminary results, Bollettino Di Oceanologia Teorica Ed Applicata 4, 311-317.
- Camerlenghi, A. and Cita M.B. 1987, Setting and tectonic evolution of some Eastern Mediterranean deep - sea basins, Marine Geology 75, 31 - 55.
- Evans, G., Morgan, P., Evans, W.E., Evans, T.R., and Woodside, J.M. 1978, Faulting and halokinetics in the Northeastern Mediterranean between Cyprus and Turkey, Geology 6, 392 - 396.
- Gökçen, S.L., Kelling G., Floyd P.A. ve Gökçen, N. 1985, Adana Basıni Misis karmaşığı Karataş formasyonu turbidit kumtaşlarının kil mineralojisi, II. Ulusal Kil Sempozyumu Bildirileri Kitabı, Hacettepe Yayıni, 93 - 103, Ankara.
- Gökçen, S.L., Kelling, G., Gökçen, N. ve Floyd, P.A. 1987, Çukurova basını Misis karmaşığının stratigrafik ve tektonik evrimi, Yerbilimleri 14, 231 - 243, Ankara.
- Gökçen, S.L., Kelling, G., Floyd P.A. and Gökçen, N. 1988, Sedimentology of a Late Cenozoic collisional sequence: The Misis complex, Adana, Southern Turkey, Sedimentary Geology 59, 205 - 235.
- Gökçen, S.L., Kelling, G., Gökçen, N ve Floyd, P.A., 1990, Genç senozoyik yaşı çarpışan plaka sınırlarındaki istiflerin sedimenter jeolojik evrimine bir ömek: Misis karmaşığı, Çukurova basını - Adana, A.Car Yerbilimleri Sempozyumu Bildirileri Kitabı, Ç.U. Müh. Mim. Fakültesi Yayımları, 1 - 10, Adana (Baskıda).
- Hsu, K.J., Cita, M.B. and Ryan, W.B.F., 1973, The origin of the Mediterranean evaporites, in: W.B.F. Ryan, K.J.Hsu and others (Eds.), unit. Report of deep-sea drilling project, U.S. printing Office, Washington D.C., 13, 1023 - 1231.
- Kelling, G., Gökçen, S.L., Floyd, P.A., and Gökçen, N., 1987, Neogene tectonics and plate convergence in the Eastern Mediterranean: New data from Southern Turkey, Geology 15, 425-429.
- Kelling, G., Gökçen, S.L., Gökçen, N., Uluğ, A., and Özel, E., neotectonics and sedimentation in the Neogene Cilicia Basin, Southern Turkey IEска-90 tebliğ özetleri, D.E.Ü. Jeoloji Mühendisliği bölümü Bornova İzmir, 1990.
- Özhan, G., Sismik yansıtma verileri ışığında Kuzeydoğu Akdeniz Türkiye Jeoloji Bülteni, 31, 51 - 62, 1988.
- Robertson, A.H.F and Dixon, J.B., Introduction: Aspects of the geological evolution of the Eastern Mediterranean. In: J.E. Dixon and A.H.F. Robertson (Eds.), the geological evolution of the Eastern Mediterranean area, philos. trans., R. Soc. London, Ser. A. 317, 141 - 177, 1985.
- Şengör, A.M.C. and Yılmaz, Y., 1981, Tethyan Evolution of Turkey: A plate tectonic approach, tectonophysics 75, 181 - 241.
- Schmidt, G.C., 1961, Stratigraphic nomenclature of the Adana region, petroleum district VII, Turkish Petroleum Administration Bulletin 6, 47 - 62.
- Schiettecatte, J.P., Geology of the Misis Mountains, in Campbell, J., Ed, The geology and history of Turkey, Tripoli, petroleum exploration Society Of Limya, 305 - 312, 1971.
- Shaw, H.F., and Bush P.R., 1978, The mineralogy and geochemistry of the recent surface sediments of the Cilicia basin, Northeast Mediterranean, Marine geology, 27, 115 - 136.
- Yalçın, M.N., and Görür, N., 1984, Sedimentological evolution of the Adana basin, in Tekeli, O. and Göncüoğlu, M.C., (Edits) Geology of the Taurus belt: Ankara, Mineral Research and Exploration Institute, 165 - 172.
- Yetiş, C., 1985, Akkuyu santrali deprem kuşağında mı? Milliyet, Yıl 35, Sayı 13357, (Düşünlenen Düşünceleri).
- Yetiş, C., Reorganization of the tertiary stratigraphy in the Adana basin, Southern Turkey, News! Stratigr. 20, 1, 43 - 58.